

**Comune di Castiglione Messer Raimondo
Provincia di Provincia di Teramo**

**RELAZIONE GEOTECNICA GENERALE
E DELLE FONDAZIONI**

OGGETTO: Relazione geotecnica relativa al progetto "Lavori di consolidamento dell'area antistante la proprietà " Giovanna Ravicini"."
esecutivo

COMMITTENTE: ACA SPA
Pescara, 01/09/2022

Il Progettista

(ing. Italiani Alessandro)

Il Direttore dei Lavori

Il Collaudatore

(ing. Italiani Alessandro)

(...)

ing. Italiani Alessandro
Via Pietro Baiocchi - Atri
3476699756 - alexitaliani@gmail.com

...

1 - DESCRIZIONE GENERALE DELL'OPERA

La presente relazione geotecnica riguarda le indagini, la caratterizzazione e modellazione geotecnica del "volume significativo" per l'opera in esame e valuta l'interazione opera/terreno ai fini del dimensionamento delle relative fondazioni.

Questa relazione è stata redatta sulla base dei dati risultanti dalle prove di campagna e/o di laboratorio.

2 - NORMATIVA DI RIFERIMENTO

Le fasi di analisi e verifica della struttura sono state condotte in accordo alle seguenti disposizioni normative, per quanto applicabili in relazione al criterio di calcolo adottato dal progettista, evidenziato nel prosieguo della presente relazione:

Legge 5 novembre 1971 n. 1086 (G. U. 21 dicembre 1971 n. 321)

"Norme per la disciplina delle opere di conglomerato cementizio armato, normale e precompresso ed a struttura metallica".

Legge 2 febbraio 1974 n. 64 (G. U. 21 marzo 1974 n. 76)

"Provvedimenti per le costruzioni con particolari prescrizioni per le zone sismiche"

Indicazioni progettuali per le nuove costruzioni in zone sismiche a cura del Ministero per la Ricerca scientifica - Roma 1981.

D. M. Infrastrutture Trasporti 17/01/2018 (G.U. 20/02/2018 n. 42 - Suppl. Ord. n. 8)

"Aggiornamento delle Norme tecniche per le Costruzioni".

Inoltre, in mancanza di specifiche indicazioni, ad integrazione della norma precedente e per quanto con esse non in contrasto, sono state utilizzate le indicazioni contenute nella:

Circolare 21 gennaio 2019, n. 7 C.S.LL.PP. (G.U. Serie Generale n. 35 del 11/02/2019 - Suppl. Ord. n. 5)
Istruzioni per l'applicazione dell'«Aggiornamento delle "Norme tecniche per le costruzioni"» di cui al decreto ministeriale 17 gennaio 2018.

Eurocodice 7 - "Progettazione geotecnica" - EN 1997-1 per quanto non in contrasto con le disposizioni del D.M. 2018 "Norme Tecniche per le Costruzioni".

3 - INDAGINI E CARATTERIZZAZIONE GEOTECNICA

Sulla base di quanto dettagliato nella relazione geologica dell'area di sito, si è proceduto alla progettazione della campagna di indagini geognostiche finalizzate alla determinazione delle caratteristiche geotecniche dei terreni interessati dal "volume significativo" dell'opera in esame.

3.1 Prove effettuate e Caratterizzazione geotecnica

Al fine della determinazione delle caratteristiche geotecniche dei terreni coinvolti nel "volume significativo" dell'opera in esame, sono state condotte delle prove geotecniche, riassunte nella relazione geologica.

Le indagini realizzate hanno permesso di ricostruire le seguenti stratigrafie per ognuna delle quali sono state definite le proprietà geotecniche dei singoli terreni coinvolti.

TERRENI

N _{TRN}	γ _T [N/m ³]	K ₁			φ [°]	c _u [N/mm ²]	c' [N/mm ²]	E _d [N/mm ²]	E _{cu} [N/mm ²]	Terreni	
		K _{1X} [N/cm ³]	K _{1Y} [N/cm ³]	K _{1Z} [N/cm ³]						A _{S-B}	ST_P
Calcere scarsamente fratturato											
T001	24.000	100	100	1000	40	0,000	0,000	25.000	0	0,000	NO
Sabbia argillosa mediamente consolidata											
T002	18.000	60	60	200	32	0,000	0,000	60	0	0,000	NO
Sabbia ghiaiosa											

N _{TRN}	γ _T [N/m ³]	K1			φ [°]	c _u [N/mm ²]	c' [N/mm ²]	E _d [N/mm ²]	E _{cu} [N/mm ²]	A _{S-B}	ST_P
		K _{1X}	K _{1Y}	K _{1Z}							
		[N/cm ³]	[N/cm ³]	[N/cm ³]							
T003	18.000	80	80	300	35	0,000	0,000	150	0	0,000	NO

LEGENDA:

N_{TRN}	Numero identificativo del terreno.
γ_T	Peso specifico del terreno.
K1	Valori della costante di Winkler riferita alla piastra Standard di lato b = 30 cm nelle direzioni degli assi del riferimento globale X (K _{1X}), Y (K _{1Y}), e Z (K _{1Z}).
φ	Angolo di attrito del terreno.
c_u	Coesione non drenata.
c'	Coesione efficace.
E_d	Modulo edometrico.
E_{cu}	Modulo elastico in condizione non drenate.
A_{S-B}	Parametro "A" di Skempton-Bjerrum per pressioni interstiziali.
ST_P	[SI]: Il terreno è usato nella valutazione delle spinte a tergo delle pareti/muri controterra; [NO]: Il terreno NON è usato nella valutazione delle spinte a tergo delle pareti/muri controterra.

STRATIGRAFIE

N _{TRN}	Q _i [m]	Q _f [m]	Cmp. S.	Add	Stratigrafie
					ΔEd
[S002]-Stratigrafia terreno pali aca cstiglione					
T001	0,00	-8,00	incoerente	sciolto	nulla
T002	-8,00	-12,00	incoerente	sciolto	nulla
T003	-12,00	INF	incoerente	denso	nulla

LEGENDA:

N_{TRN}	Numero identificativo della stratigrafia.
Q_i	Quota iniziale dello strato (riferito alla quota iniziale della stratigrafia).
Q_f	Quota finale dello strato (riferito alla quota iniziale della stratigrafia). INF = infinito (profondità dello strato finale).
Cmp. S.	Comportamento dello strato.
Add	Addensamento dello strato.
ΔEd	Variazione con la profondità del modulo edometrico.

NB: Nel caso di fondazioni dirette con stratigrafia, il calcolo del carico limite (q_{lim}) viene fatto su un terreno "equivalente" con parametri geotecnici calcolati come media pesata degli strati compresi tra la quota del piano di posa e la quota della profondità "significativa" (stabilita come "Multiplo della dimensione Significativa della fondazione").

$$\text{Parametro "J"} = \frac{\sum_i^n [\text{Parametro "J"} (\text{strato}, i) \cdot \text{Spessore} (\text{strato}, i)]}{\text{Profondità significativa}}$$

con i = 1, ..., n (numero di strati compresi tra la quota del piano di posa e la quota della profondità significativa).

3.2 Idrogeologia

Non è stata riscontrata la presenza di falde acquifere a profondità di interesse relativamente al "volume significativo" investigato.

3.3 Problematiche riscontrate

Durante l'esecuzione delle prove e dall'elaborazione dei dati non sono emerse problematiche rilevanti alla realizzazione delle opere di fondazione.

4 - MODELLAZIONE GEOTECNICA E PERICOLOSITA' SISMICA DEL SITO

Le indagini effettuate, permettono di classificare il profilo stratigrafico, ai fini della determinazione dell'azione

sismica, di categoria:

C [C - Depositi di terreni a grana grossa mediamente addensati o terreni a grana fina mediamente consistenti], basandosi sulla valutazione della velocità delle onde di taglio (V_{S30}) e/o del numero di colpi dello Standard Penetration Test (N_{SPT}) e/o della resistenza non drenata equivalente ($c_{u,30}$). Tutti i parametri che caratterizzano i terreni di fondazione sono riportati nei successivi paragrafi.

4.1 Modellazione geotecnica

Ai fini del calcolo strutturale, il terreno sottostante l'opera viene modellato secondo lo schema di Winkler, cioè un sistema costituito da un letto di molle elastiche mutuamente indipendenti. Ciò consente di ricavare le rigidità offerte dai manufatti di fondazione, siano queste profonde o superficiali, che sono state introdotte direttamente nel modello strutturale per tener conto dell'interazione opera/terreno.

4.2 Pericolosità sismica

Ai fini della pericolosità sismica sono stati analizzati i dati relativi alla sismicità dell'area di interesse e ad eventuali effetti di amplificazione stratigrafica e topografica. Si sono tenute in considerazione anche la classe dell'edificio e la vita nominale.

Per tale caratterizzazione si riportano di seguito i dati di pericolosità come da normativa:

DATI GENERALI ANALISI SISMICA

Dati generali analisi sismica											
Ang	NV	CD	MP	Dir	TS	EcA	Ir _{Temp}	C.S.T.	RP	RH	ξ
[°]											[%]
0	15	B	ca	X Y	[T +C] [T +C]	S	N	C	SI	SI	5

LEGENDA:

- Ang** Direzione di una componente dell'azione sismica rispetto all'asse X (sistema di riferimento globale); la seconda componente dell'azione sismica e' assunta con direzione ruotata di 90 gradi rispetto alla prima.
- NV** Nel caso di analisi dinamica, indica il numero di modi di vibrazione considerati.
- CD** Classe di duttilità: [A] = Alta - [B] = Media - [ND] = Non Dissipativa - [-] = Nessuna.
- MP** Tipo di struttura sismo-resistente prevalente: [ca] = calcestruzzo armato - [caOld] = calcestruzzo armato esistente - [muOld] = muratura esistente - [muNew] = muratura nuova - [muArm] = muratura armata - [ac] = acciaio.
- Dir** Direzione del sisma.
- TS** Tipologia della struttura:
Cemento armato: [T 1C] = Telai ad una sola campata - [T+C] = Telai a più campate - [P] = Pareti accoppiate o miste equivalenti a pareti - [2P NC] = Due pareti per direzione non accoppiate - [P NC] = Pareti non accoppiate - [DT] = Deformabili torsionalmente - [PI] = Pendolo inverso - [PM] = Pendolo inverso intelaiate monopiano;
Muratura: [P] = un solo piano - [PP] = più di un piano - [C-P/MP] = muratura in pietra e/o mattoni pieni - [C-BAS] = muratura in blocchi artificiali con percentuale di foratura > 15%;
Acciaio: [T 1C] = Telai ad una sola campata - [T+C] = Telai a più campate - [CT] = controventi concentrici diagonale tesa - [CV] = controventi concentrici a V - [M] = mensola o pendolo inverso - [TT] = telaio con tamponature.
- EcA** Eccentricità accidentale: [S] = considerata come condizione di carico statica aggiuntiva - [N] = Considerata come incremento delle sollecitazioni.
- Ir_{Temp}** Per piani con distribuzione dei tamponamenti in pianta fortemente irregolare, l'eccentricità accidentale è stata incrementata di un fattore pari a 2: [SI] = Distribuzione tamponamenti irregolare fortemente - [NO] = Distribuzione tamponamenti regolare.
- C.S.T.** Categoria di sottosuolo: [A] = Ammassi rocciosi affioranti o terreni molto rigidi - [B] = Rocce tenere e depositi di terreni a grana grossa molto addensati o terreni a grana fina molto consistenti - [C] = Depositi di terreni a grana grossa mediamente addensati o terreni a grana fina mediamente consistenti - [D] = Depositi di terreni a grana grossa scarsamente addensati o di terreni a grana fina scarsamente consistenti - [E] = Terreni con caratteristiche e valori di velocità equivalente riconducibili a quelle definite per le categorie C o D.
- RP** Regolarità in pianta: [SI] = Struttura regolare - [NO] = Struttura non regolare.
- RH** Regolarità in altezza: [SI] = Struttura regolare - [NO] = Struttura non regolare.
- ξ Coefficiente viscoso equivalente.
- NOTE** [-] = Parametro non significativo per il tipo di calcolo effettuato.

DATI GENERALI ANALISI SISMICA - FATTORI DI COMPORTAMENTO

Fattori di comportamento						
Dir	q'	q	q ₀	K _R	α_u/α_1	k _w
X	-	3,300	3,30	1,00	1,10	-
Y	-	3,300	3,30	1,00	1,10	-
Z	-	1,500	-	-	-	-

LEGENDA:

- q'** Fattore di riduzione dello spettro di risposta sismico allo SLU ridotto (Fattore di comportamento ridotto - relazione C7.3.1 circolare NTC)

Fattori di comportamento						
Dir	q'	q	q ₀	K _R	α _u /α ₁	k _w
q	Fattore di riduzione dello spettro di risposta sismico allo SLU (Fattore di comportamento).					
q ₀	Valore di base (comprensivo di k _w).					
K _R	Fattore riduttivo funzione della regolarità in altezza : pari ad 1 per costruzioni regolari in altezza, 0,8 per costruzioni non regolari in altezza, e 0,75 per costruzioni in muratura esistenti non regolari in altezza (§ C8.5.5.1)..					
α _u /α ₁	Rapporto di sovrarresistenza.					
k _w	Fattore di riduzione di q ₀ .					

Stato Limite	T _r	a _g /g	Amplif. Stratigrafica		F ₀	F _v	T [*] _c	T _B	T _c	T _D
			S _s	C _c						
	[t]						[s]	[s]	[s]	[s]
SLO	30	0,0574	1,500	1,598	2,465	0,797	0,280	0,149	0,447	1,830
SLD	50	0,0725	1,500	1,562	2,435	0,885	0,300	0,156	0,469	1,890
SLV	475	0,1806	1,432	1,485	2,478	1,421	0,350	0,173	0,520	2,322
SLC	975	0,2330	1,348	1,471	2,519	1,642	0,360	0,177	0,530	2,532

LEGENDA:

T _r	Periodo di ritorno dell'azione sismica. [t] = anni.
a _g /g	Coefficiente di accelerazione al suolo.
S _s	Coefficienti di Amplificazione Stratigrafica allo SLO/SLD/SLV/SLC.
C _c	Coefficienti di Amplificazione di T _c allo SLO/SLD/SLV/SLC.
F ₀	Valore massimo del fattore di amplificazione dello spettro in accelerazione orizzontale.
F _v	Valore massimo del fattore di amplificazione dello spettro in accelerazione verticale.
T [*] _c	Periodo di inizio del tratto a velocità costante dello spettro in accelerazione orizzontale.
T _B	Periodo di inizio del tratto accelerazione costante dello spettro di progetto.
T _c	Periodo di inizio del tratto a velocità costante dello spettro di progetto.
T _D	Periodo di inizio del tratto a spostamento costante dello spettro di progetto.

CI Ed	V _N	V _R	Lat.	Long.	Q _g	CTop	S _T
	[t]	[t]	[°ssdc]	[°ssdc]	[m]		
2	50	50	42.533046	13.879036	282	T1	1,00

LEGENDA:

CI Ed	Classe dell'edificio
V _N	Vita nominale ([t] = anni).
V _R	Periodo di riferimento. [t] = anni.
Lat.	Latitudine geografica del sito.
Long.	Longitudine geografica del sito.
Q _g	Altitudine geografica del sito.
CTop	Categoria topografica (Vedi NOTE).
S _T	Coefficiente di amplificazione topografica.
NOTE	[-] = Parametro non significativo per il tipo di calcolo effettuato.
	Categoria topografica.
	T1: Superficie pianeggiante, pendii e rilievi isolati con inclinazione media i ≤ 15°.
	T2: Pendii con inclinazione media i > 15°.
	T3: Rilievi con larghezza in cresta molto minore che alla base e inclinazione media 15° ≤ i ≤ 30°.
	T4: Rilievi con larghezza in cresta molto minore che alla base e inclinazione media i > 30°.

5 - SCELTA TIPOLOGICA DELLE OPERE DI FONDAZIONE

La tipologia delle opere di fondazione è consona alle caratteristiche meccaniche del terreno definite in base ai risultati delle indagini geognostiche.

Nel caso in esame, la struttura di fondazione è costituita da:

- fondazioni indirette di tipo a pali.

6 - VERIFICHE DI SICUREZZA

Nelle verifiche allo stato limite ultimo deve essere rispettata la condizione:

$$E_d \leq R_d$$

dove:

- E_d è il valore di progetto dell'azione o dell'effetto dell'azione;
- R_d è il valore di progetto della resistenza del sistema geotecnico.

Le verifiche strutturali e geotecniche delle fondazioni, sono state effettuate con l'**Approccio 2** come definito al §2.6.1 del D.M. 2018, attraverso la combinazione **A1+M1+R3**. Le azioni sono state amplificate tramite i coefficienti della colonna A1 (STR) definiti nella tabella 6.2.I del D.M. 2018.

Tabella 6.2.I - Coefficienti parziali per le azioni o per l'effetto delle azioni [cfr. D.M. 2018]

CARICHI	EFFETTO	Coefficiente parziale γ_F (o γ_E)	A1 (STR)	A2 (GEO)
Carichi permanenti G_1	Favorevole	γ_{G1}	1,00	1,00
	Sfavorevole		1,30	1,00
Carichi permanenti $G_2^{(1)}$	Favorevole	γ_{G2}	0,80	0,80
	Sfavorevole		1,50	1,30
Azioni variabili Q	Favorevole	γ_{Qi}	0,00	0,00
	Sfavorevole		1,50	1,30

⁽¹⁾ Per i carichi permanenti G_2 si applica quanto indicato alla Tabella 2.6.I. Per la spinta delle terre si fa riferimento ai coefficienti γ_{G1}

I valori di resistenza del terreno sono stati ridotti tramite i coefficienti della colonna M1 definiti nella tabella 6.2.II del D.M. 2018.

Tabella 6.2.II - Coefficienti parziali per i parametri geotecnici del terreno [cfr. D.M. 2018]

PARAMETRO GEOTECNICO	Grandezza alla quale applicare il coefficiente parziale	Coefficiente parziale γ_M	M1	M2
Tangente dell'angolo di resistenza a taglio	$\tan\phi_k$	$\gamma_{\phi'}$	1,00	1,25
Coesione efficace	c'_k	$\gamma_{c'}$	1,00	1,25
Resistenza non drenata	c_{uk}	γ_{cu}	1,00	1,40
Peso dell'unità di volume	γ_r	γ_r	1,00	1,00

Per le fondazioni su pali, i valori calcolati delle resistenze totali dell'elemento strutturale sono stati divisi per i coefficienti R3 della tabella 6.4.II del D.M. 2018.

Per le varie tipologie di fondazioni sono di seguito elencate le metodologie ed i modelli usati per il calcolo del carico limite ed i risultati di tale calcolo.

6.1 Carico limite per i pali

Calcolo del carico limite verticale in compressione

Per il calcolo del carico limite verticale viene adottato il metodo dell'equilibrio limite in base al quale il carico limite verticale q_{lim} è dato dalla somma della resistenza laterale P_l e della resistenza alla punta P_p :

$$q_{lim} = P_p + P_l$$

Stimando il carico limite sia in condizione drenate che non drenate è fondamentale nella stratigrafia il comportamento del singolo strato (coerente/incoerente).

In particolare se uno strato è stato dichiarato incoerente il suo contributo al carico limite viene sempre valutato in condizioni drenate a prescindere dal metodo di calcolo richiesto (drenato/non drenato).

La **resistenza alla punta (P_p)** si calcola con la seguente formula:

$$P_p = \frac{\pi \cdot D^2}{4} \cdot (c \cdot N_c + q \cdot N_q)$$

dove:

- per la determinazione dei valori di N_q vengono usati i grafici di Berezantzev $N_q = N_q(L/D; \phi)$ in cui L è la lunghezza del palo, D è il diametro e ϕ è l'angolo di attrito;
- $N_c = (N_q - 1) \cdot \cot\phi$;
- c è la coesione;

q è la pressione litostatica alla punta del palo.

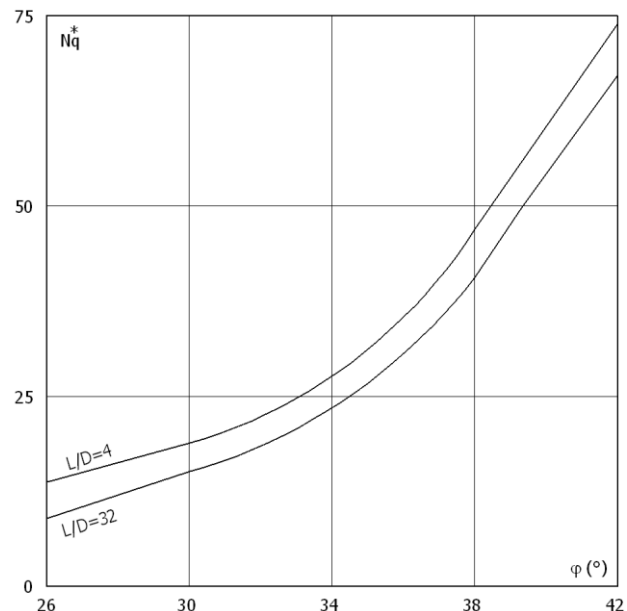
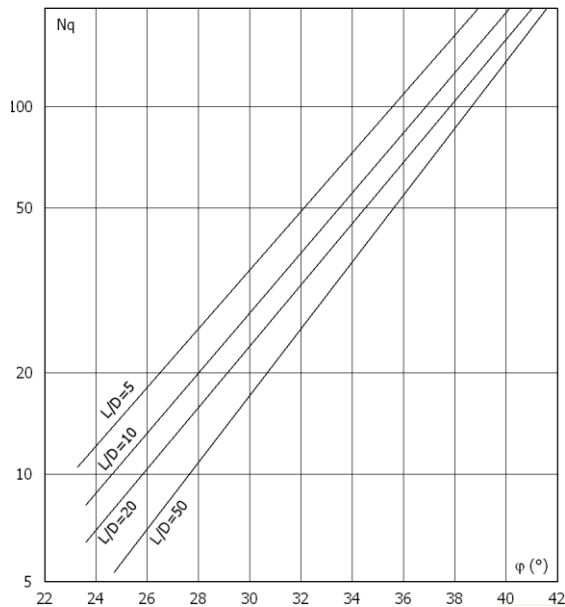
Nel calcolo della resistenza alla punta si fa distinzione tra condizioni drenate e non drenate.

In caso di condizioni:

- **drenate** si assume $c = c'$ (coesione efficace) e q calcolata per pressioni effettive.
- **non drenate** si assume $q = q_{\text{tot}}$ (pressione totale), $c = c_u$ (coesione non drenata), $\phi = 0$ e $N_c = 9$.

Se lo strato in cui arriva il palo è stato dichiarato coerente la stima della resistenza alla punta viene fatta in condizioni drenate o non drenate a seconda del metodo di calcolo richiesto. Viceversa, se lo strato in cui arriva il palo è stato dichiarato incoerente la stima della resistenza alla punta viene fatta sempre in condizioni drenate indipendentemente dal tipo di calcolo richiesto (drenato o non drenato).

Vengono distinti i casi di pali di medio diametro e di grande diametro (> 80 cm). Per questi ultimi, visto che la resistenza alla punta viene mobilitata dopo un cedimento che può essere anche significativo, si utilizza un valore di N_q^* ridotto rispetto a N_q .



Per il calcolo della **resistenza laterale (P_l)** si usa invece la formula:

$$P_l = \pi \cdot D \cdot L \cdot s,$$

in cui s è la somma di un termine di adesione a indipendente dalla tensione normale (orizzontale σ_h) e da un termine attritivo dipendente da quest'ultima e dalla tecnologia con cui viene realizzato il palo (battuto, trivellato, ...):

$$s = a + \sigma_h \cdot \mu,$$

con μ dipendente dalla scabrezza dell'interfaccia palo/terreno.

Anche per il calcolo della resistenza laterale si distingue tra condizioni drenate e non drenate. In **condizioni drenate** si assume $a = 0$, pertanto, $s = \sigma_h \cdot \mu$ [con $\mu = \tan(\phi \cdot A)$, dove A è il coefficiente riduttivo relativo all'attrito palo-terreno]. In **condizioni non drenate** si assume che l'adesione sia un'aliquota della coesione non drenata, per cui $a = \alpha \cdot c_u$ con α dipendente dalla tecnologia esecutiva del palo stesso.

In caso di terreni stratificati la resistenza laterale è la somma delle resistenze offerte dai singoli strati, calcolate a seconda della tipologia del terreno (coerente/incoerente).

Pertanto, il calcolo del palo in condizioni non drenate, per gli strati coerenti il contributo alla portanza laterale del singolo strato viene stimato in funzione della coesione non drenata, mentre per gli strati incoerenti in funzione dell'attrito.

Invece, richiesto un calcolo del palo in condizioni drenate, sia per gli strati coerenti che per quelli incoerenti il contributo alla portanza laterale del singolo strato viene stimato in funzione dell'attrito.

Calcolo del carico limite verticale in trazione

Nel caso di pali sollecitati a trazione, la resistenza allo sfilamento (T) viene calcolata con le formulazioni di Das-Seeley (per terreni coesivi), oppure Das-Rozendal (per terreni incoerenti):

$$T = T_L + T_B + W$$

dove:

- T_L = resistenza allo sfilamento lungo il fusto;
- T_B = resistenza allo sfilamento dovuto allo svasamento della base;
- W = peso del palo.

Nel caso di *stratigrafie* di terreni, viene calcolato il contributo di ogni strato interessato dal palo, sia esso coesivo o incoerente. In caso di alternanza di terreni sciolti e terreni densi verrà fatta una media pesata della densità relativa di ogni strato.

Nel caso sia presente una *falda*, si procede nel seguente modo:

- *per terreni coesivi*: all'aumentare del livello della falda si ha un incremento dello sforzo normale di trazione dovuto alla sotto-spinta idrostatica (o effetto di *galleggiamento*) del palo immerso in acqua. La resistenza dovuta alla coesione invece, non risente di alcun effetto;

- *per terreni incoerenti*: all'aumentare del livello della falda, oltre ad avere un incremento dello sforzo normale di trazione dovuto alla sotto-spinta idrostatica, si ha anche una diminuzione della resistenza dovuta ad una minore pressione efficace lungo il fusto del palo, e di conseguenza una minore resistenza all'attrito.

Gli effetti delle *condizioni drenate oppure non drenate* dei terreni sono considerati nel seguente modo:

- *per terreni coesivi*: si considera il contributo della coesione non drenata in condizioni non drenate, mentre si considera il contributo dell'eventuale attrito in condizioni drenate;

- *per terreni incoerenti*: sono considerati sempre in condizioni drenate, quindi, ai fini della verifica a sfilamento, in condizioni drenate si fa riferimento solo al contributo dell'attrito, anche se il terreno ha una componente coesiva.

Infine, qualora i pali abbiano un comportamento di gruppo (es. plinti su pali), per terreni coesivi, viene applicata una riduzione della resistenza, dovuta all'effetto di gruppo dei pali, tramite un coefficiente tabellare che dipende dalla forma (es. quadrata, rettangolare, ecc..) e dal numero di pali. Maggiore sarà il numero di pali e maggiore sarà la riduzione (cfr. De Simone).

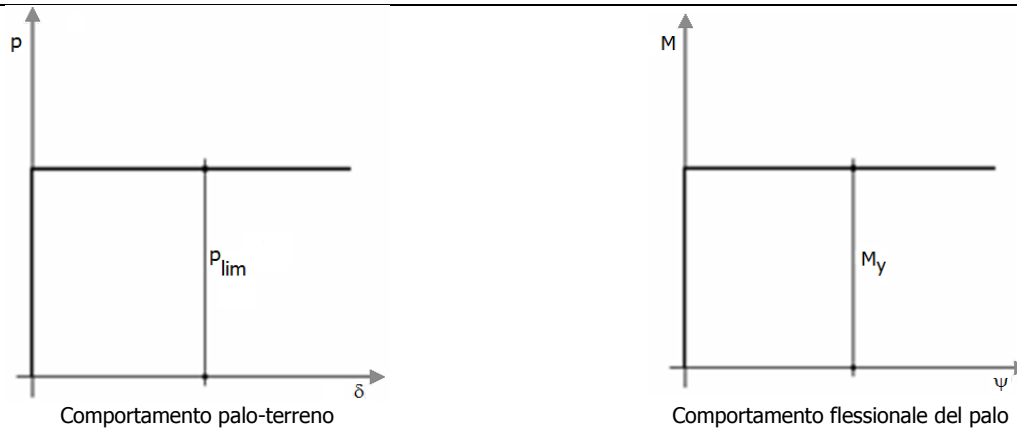
N° Pali	Forma	Coefficiente
1	Quadrato	1
2	Rettangolare	0,94
3	Triangolare	0,87
4	Triangolare	0,83
4	Quadrato	0,82
5	Quadrato	0,8
5	Pentagono	0,82
6	Rettangolare	0,77
6	Pentagono	0,78
6	Esagonale	0,8
7	Esagonale	0,75
8	Quadrato	0,75
9	Quadrato	0,72

Calcolo del Carico Limite Orizzontale per terreni monostrato

Per la valutazione del carico limite orizzontale si è fatto riferimento alla teoria di Broms e al caso di pali supposti vincolati in testa (rotazione impedita).

Le ipotesi assunte da *Broms* sono le seguenti:

- comportamento dell'interfaccia palo-terreno di tipo rigido-perfettamente plastico, cioè la resistenza del terreno si mobilita interamente per un qualsiasi valore non nullo dello spostamento e resta poi costante al crescere dello spostamento;
- forma del palo ininfluente rispetto al carico limite orizzontale il quale risulta influenzato solo dal diametro del palo stesso;
- in presenza di forze orizzontali la resistenza della sezione strutturale del palo può essere chiamata in causa poiché il regime di sollecitazione di flessione e taglio che consegue all'applicazione di forze orizzontali è molto più gravoso dello sforzo normale che consegue all'applicazione di carichi verticali;
- anche il comportamento flessionale del palo è assunto di tipo rigido-perfettamente plastico, cioè le rotazioni plastiche del palo sono trascurabili finché il momento flettente non attinge al valore M_{plast} ovvero Momento di plasticizzazione. A questo punto nella sezione si forma una cerniera plastica ovvero la rotazione continua indefinitamente sotto momento costante.



La resistenza limite laterale di un palo è determinata dal minimo valore fra:

- il carico orizzontale necessario per produrre il collasso del terreno lungo il fusto del palo;
- il carico orizzontale necessario per produrre la plasticizzazione del palo.

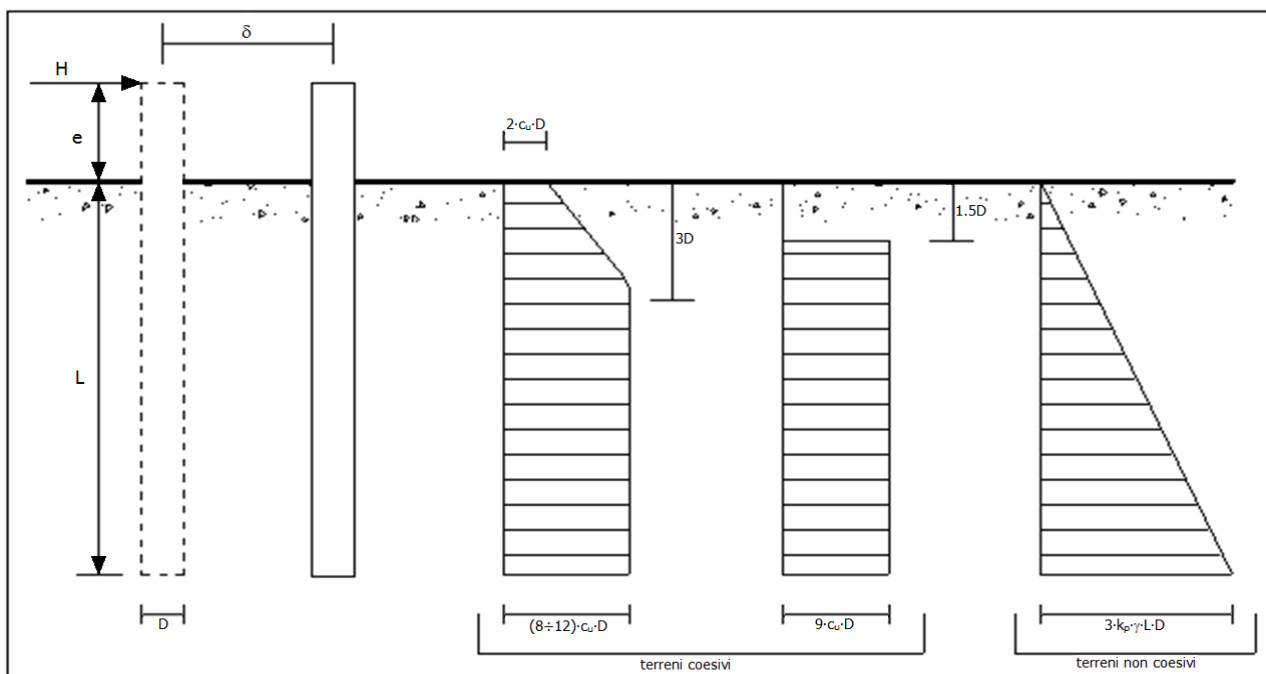
Il primo meccanismo (plasticizzazione del terreno) si verifica nel caso di pali molto rigidi in terreni poco resistenti (meccanismo di palo corto).

Mentre, il secondo meccanismo si verifica nel caso di pali aventi rigidezze non eccessive rispetto al terreno d'infissione (meccanismo di palo lungo o intermedio, con la formazione rispettivamente di due ed una cerniera plastica).

La resistenza limite del terreno rappresenta il valore limite di resistenza che esso può esplicare quando il palo è soggetto ad un carico orizzontale e dipende dalle caratteristiche del terreno e dalla geometria del palo.

Per quanto riguarda la resistenza del terreno, secondo la teoria di Broms, si considerano separatamente i casi di:

- terreni **coesivi** o **coerenti** (rottura non drenata);
- terreni **non coesivi** o **incoerenti** (rottura drenata).



Andamento della resistenza del terreno, secondo la teoria di Broms

Quindi, nella fase di calcolo, occorre verificare se il meccanismo di rottura del palo è per:

- **Palo corto** ⇒ (plasticizzazione terreno)
- **Palo intermedio** ⇒ (plasticizzazione palo)
- **Palo lungo** ⇒ (plasticizzazione palo)

Nel caso di **terreni non coesivi** ($c=0$), la teoria di **Broms** assume che la resistenza laterale sia variabile linearmente con la profondità dal valore $p = 0$ (in testa) fino al valore $p = 3 \cdot k_p \cdot \gamma \cdot L \cdot D$ (alla base), essendo K_p il

coefficiente di resistenza passiva. Nel calcolo della resistenza laterale si tiene conto dell'eventuale interrimento della testa del palo rispetto al piano campagna, il che comporta che la pressione litostatica in testa al palo sia non nulla. Inoltre, un ulteriore settaggio, presente nelle preferenze del software, consente di trascurare o meno la presenza della falda nella valutazione della pressione litostatica.

Per quanto riguarda i *terreni coesivi* la resistenza laterale parte in testa al palo con un valore di $p = 2 \cdot c_u \cdot D$, cresce linearmente fino alla profondità $3D$ per poi rimanere costante e pari a $p = (8 \div 12) \cdot c_u \cdot D$ per tutta la lunghezza del palo. In alternativa, è possibile utilizzare un diagramma semplificato, di valore $p = 0$ fino alla profondità $1,5 \cdot D$ e con valore costante e pari a $9 \cdot c_u \cdot D$ per tutta la lunghezza del palo.

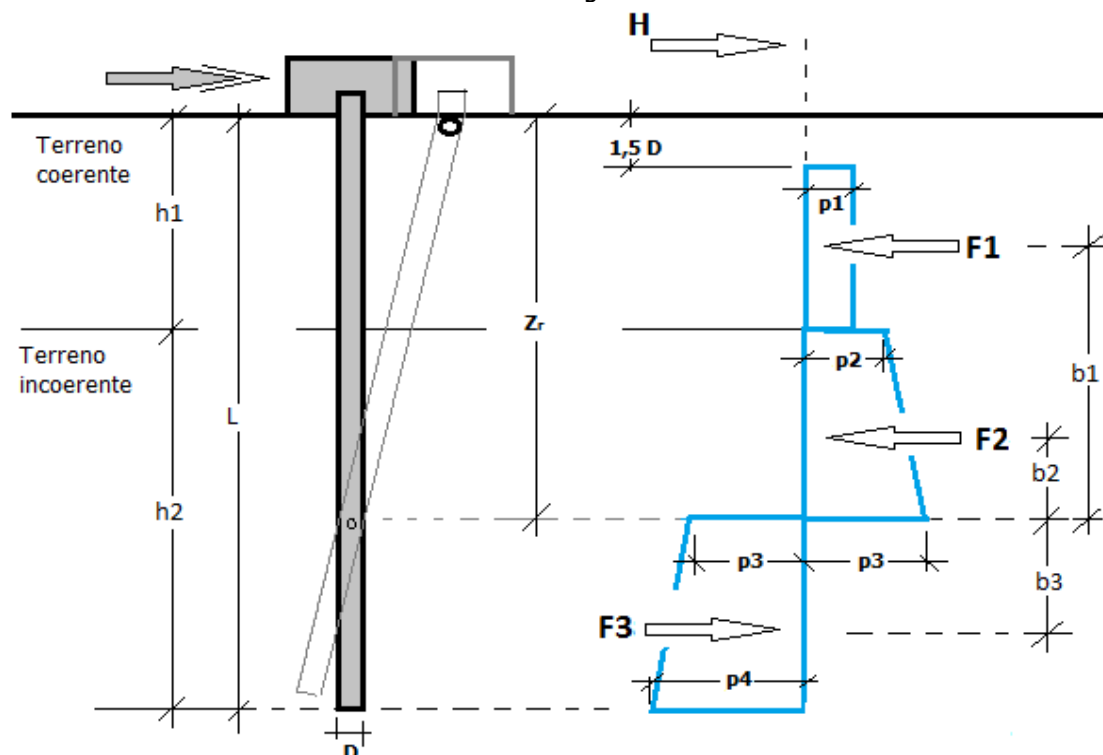
Oltre ai parametri meccanici del terreno viene considerato anche il Momento Ultimo M_p del palo che è funzione oltre che dell'armatura anche dello sforzo assiale agente. Se il comportamento è a palo lungo viene calcolata anche la profondità di formazione della seconda cerniera plastica.

Calcolo del Carico Limite Orizzontale per terreni stratificati

La teoria di Broms è formulata per terreni omogenei, di tipo coerente o incoerente; in caso di terreni stratificati, la teoria di Broms viene generalizzata formulando le seguenti ipotesi aggiuntive, rispetto al caso del terreno monostrato:

- **terreno coerente:** la resistenza laterale per unità di superficie p_i viene considerata costante, secondo l'ipotesi di Broms, a partire da una profondità pari ad $1,5 \cdot D$, ritenendo nulla la reazione per strati di altezza inferiore a $1,5 \cdot D$. La resistenza p_i è indipendente dalla pressione litostatica.
- **terreno incoerente:** la resistenza laterale per unità di superficie p_i varia con legge lineare lungo l'altezza, secondo l'ipotesi di Broms. La resistenza p_i è dipendente dalla pressione litostatica $\gamma \cdot z$, per cui nel calcolo di tali resistenze si tiene conto del peso degli eventuali strati sovrastanti. Un ulteriore settaggio, presente nelle preferenze del software, consente di trascurare o meno la presenza della falda nella valutazione della pressione litostatica.

Per un terreno di due strati lo schema considerato è il seguente:



Nella fase di calcolo, si verifica se il meccanismo di rottura del palo, ipotizzato vincolato in testa (rotazione alla testa impedita) sia di:

– **Palo CORTO**

Si valuta il diagramma dei momenti, ipotizzando che il palo non subisca plasticizzazioni. Sotto l'azione della forza H il palo subisce una traslazione rigida.

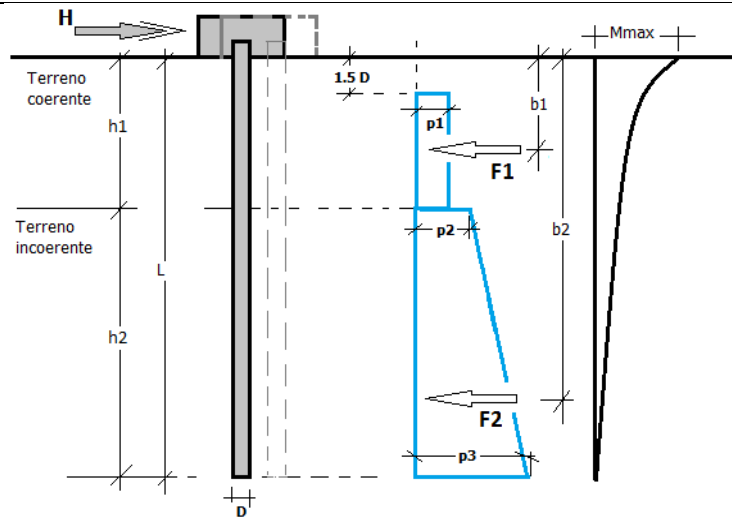
Nell'ipotesi di cui in figura seguente, le resistenze laterali valgono:

$$\begin{aligned} p_1 &= 9 \cdot c_u \cdot D; \\ p_2 &= 3 \cdot k_{p,2} \cdot D \cdot \gamma_1 \cdot h_1; \\ p_3 &= 3 \cdot k_{p,2} \cdot D \cdot (\gamma_1 \cdot h_1 + \gamma_2 \cdot h_2). \end{aligned}$$

Da cui:

$$\begin{aligned} F_1 &= p_1 \cdot (h_1 - 1,5 \cdot D); \\ F_2 &= (p_1 + p_2) \cdot h_2 / 2. \end{aligned}$$

Indicando con M_p il momento resistente del palo, se risulta $M_{max} = F_1 \cdot b_1 + F_2 \cdot b_2 < M_p$ l'ipotesi di palo corto è soddisfatta, altrimenti occorre procedere con l'ipotesi di palo intermedio.



- Palo INTERMEDIO

Si valuta il diagramma dei momenti, ipotizzando che il palo subisca una plasticizzazione all'attacco con la fondazione e che al piede sia presente un vincolo alla traslazione orizzontale. Sotto l'azione della forza H il palo subisce una traslazione ed una rotazione rigida.

Nell'ipotesi di cui in figura seguente, le resistenze laterali valgono:

$$\begin{aligned} p_1 &= 9 \cdot c_u \cdot D; \\ p_2 &= 3 \cdot k_{p,2} \cdot D \cdot \gamma_1 \cdot h_1; \\ p_3 &= 3 \cdot k_{p,2} \cdot D \cdot (\gamma_1 \cdot h_1 + \gamma_2 \cdot h_2). \end{aligned}$$

Da cui:

$$\begin{aligned} F_1 &= p_1 \cdot (h_1 - 1,5 \cdot D); \\ F_2 &= (p_1 + p_2) \cdot h_2 / 2. \end{aligned}$$

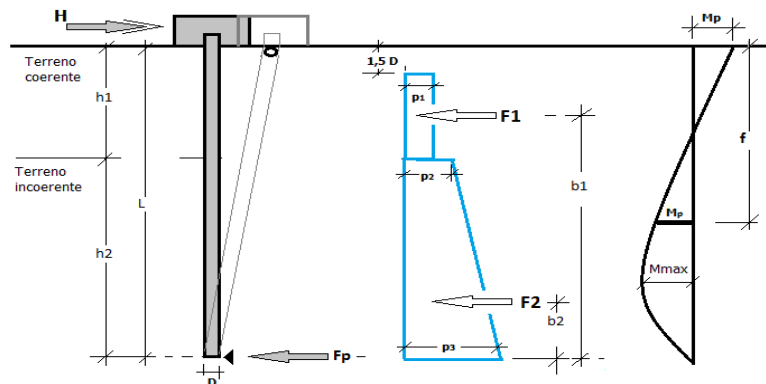
Applicando l'equilibrio alla rotazione intorno al piede del palo:

$$M_p + F_1 \cdot b_1 + F_2 \cdot b_2 - H \cdot L = 0$$

si determina il valore dell'azione H che sollecita il palo.

Una volta note tutte le forze in gioco, si determina il diagramma del momento lungo il fusto del palo.

Indicando con M_p il momento resistente del palo, se risulta $M_{max} < M_p$ l'ipotesi di palo intermedio è soddisfatta, altrimenti occorre procedere con l'ipotesi di palo lungo.



- Palo LUNGO

Si valuta il diagramma dei momenti, ipotizzando che il palo subisca una plasticizzazione all'attacco con la fondazione e lungo il fusto. Sotto l'azione della forza H il palo subisce una traslazione ed una rotazione rigida.

Nell'ipotesi di cui in figura seguente, le resistenze laterali valgono:

$$\begin{aligned} p_1 &= 9 \cdot c_u \cdot D; \\ p_2 &= 3 \cdot k_{p,2} \cdot D \cdot \gamma_1 \cdot h_1; \\ p_3 &= 3 \cdot k_{p,2} \cdot D \cdot (\gamma_1 \cdot h_1 + \gamma_2 \cdot h_2). \end{aligned}$$

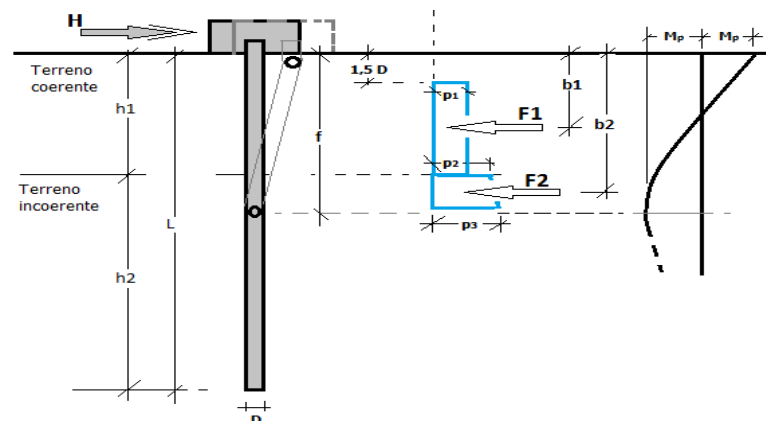
Da cui:

$$\begin{aligned} F_1 &= p_1 \cdot (h_1 - 1,5 \cdot D); \\ F_2 &= (p_1 + p_2) \cdot h_2 / 2. \end{aligned}$$

Applicando l'equilibrio alla traslazione si ha:

$$H = F_1 + F_2$$

Imponendo l'equilibrio alla rotazione intorno alla seconda cerniera plastica:



$$H f - F_1 \cdot (f-b_1) - F_2 \cdot (f-b_2) - 2M_p = 0$$

si determina la profondità f della seconda cerniera plastica.

Verifiche nei confronti degli stati limite ultimi (SLU)

Di seguito si riporta una tabella riepilogativa relativa alle verifiche delle fondazioni su pali eseguite per i seguenti stati limite:

- collasso per carico limite della palificata nei riguardi dei carichi assiali;
- collasso per carico limite della palificata nei riguardi dei carichi trasversali.

Si precisa che i valori relativi alle colonne Q_{Rd} , di cui nella tabella relativa alle verifiche, sono da intendersi come il valore di progetto della resistenza R_d ossia il rapporto fra il carico limite q_{lim} (calcolato come sopra esposto) ed il valore del coefficiente parziale di sicurezza γ_R , relativo all'approccio utilizzato.

Tabella 6.4.II - Coefficienti parziali γ_R da applicare alle resistenze caratteristiche a carico verticale dei pali (cfr. D.M. 2018)

Resistenza	Simbolo	infissi	trivellati	ad elica continua
	γ_R	R3	R3	R3
Base	γ_b	1,15	1,35	1,30
Laterale in compressione	γ_s	1,15	1,15	1,15
Totale ^(*)	γ_t	1,15	1,30	1,25
Laterale in trazione	$\gamma_{s,t}$	1,25	1,25	1,25

^(*) da applicare alle resistenze caratteristiche dedotte dai risultati di prove di carico di progetto.

Il coefficiente γ_R da applicare alla resistenza dei pali soggetti a *carichi trasversali* è assunto pari a 1,30 (cfr. tabella 6.4.VI D.M. 2018).

Con riferimento alle procedure analitiche che prevedono l'utilizzo dei parametri geotecnici, il valore caratteristico della resistenza R_k è dato dal valore ottenuto applicando alle resistenze calcolate R_{cal} i fattori di correlazione ξ riportati nella tabella 6.4.IV, in funzione del numero n di verticali di indagine:

$$R_k = R_{cal}/\xi_3.$$

Tabella 6.4.IV - Fattori di correlazione per la determinazione della resistenza caratteristica in funzione del numero di verticali indagate (cfr. D.M. 2018).

Numero di verticali indagate	1	2	3	4	5	7	≥ 10
ξ_3	1,70	1,65	1,60	1,55	1,50	1,45	1,40

Si precisa che, nella sottostante tabella, la coppia $Q_{Ed,V} - Q_{Rd,V}$ e $Q_{Ed,O} - Q_{Rd,O}$ è relativa alla combinazione di carico, fra tutte quelle esaminate, che da luogo al minimo coefficiente di sicurezza (CS).

N.B: il valore del $Q_{Ed,V}$ rappresenta l'azione agente sulla testa del palo a cui si sottrae la differenza fra il peso del palo ed quello del volume di terreno occupato dal palo.

PALI - VERIFICHE A CARICO LIMITE VERTICALE E ORIZZONTALE ALLO SLU

Pali - Verifiche a carico limite verticale e orizzontale allo SLU

Id _{PI/P} nt PI	Id _{Nd,s} up	carichi verticali: compressione					carichi verticali: trazione			carichi orizzontali					
		$Q_{Ed,Max}$	$Q_{Rd,V,c}$	$Q_{Rd,V,Pt}$	$Q_{Rd,V,Lt}$	$CS_{V,c}$	$Q_{Ed,Max,V,t}$	$Q_{Rd,V,t}$	$CS_{V,t}$	$Q_{Ed,O}$	$Q_{Rd,O}$	$M_{max,O}$	T.R.	$Z_{c,pls}$	CS_O
		[N]	[N]	[N]	[N]		[N]	[N]		[N]	[N]	[N·m]		[m]	
PALO 33	00014	27.254	2.327.945	1.816.233	511.712	85,42	0	1.100.366	-	3.088	98.960	98765	Palo Lungo	1,44	32,05
PALO 19	00011	27.269	2.327.945	1.816.233	511.712	85,37	0	1.100.366	-	3.628	98.960	98765	Palo Lungo	1,44	27,28
PALO 7	00013	26.554	2.327.945	1.816.233	511.712	87,67	0	1.100.366	-	3.497	98.960	98765	Palo Lungo	1,44	28,30
PALO 9	00034	27.255	2.327.945	1.816.233	511.712	85,41	0	1.100.366	-	3.309	98.960	98765	Palo Lungo	1,44	29,91
PALO 38	00012	43.404	2.327.945	1.816.233	511.712	53,63	0	1.100.366	-	11.306	98.960	98765	Palo Lungo	1,44	8,75
PALO 20	00038	27.770	2.327.945	1.816.233	511.712	83,83	0	1.100.366	-	3.492	98.960	98765	Palo Lungo	1,44	28,34
PALO 8	00003	27.337	2.327.945	1.816.233	511.712	85,16	0	1.100.366	-	3.228	98.960	98765	Palo Lungo	1,44	30,66
PALO 3	00002	30.611	2.327.945	1.816.233	511.712	76,05	0	1.100.366	-	3.822	98.960	98765	Palo Lungo	1,44	25,89
PALO 5	00015	25.094	2.327.945	1.816.233	511.712	92,77	0	1.100.366	-	2.492	98.960	98765	Palo Lungo	1,44	39,71
PALO	00019	27.360	2.327.945	1.816.233	511.712	85,09	0	1.100.366	-	3.749	98.960	98765	Palo	1,44	26,40

Pali - Verifiche a carico limite verticale e orizzontale allo SLU

Id _{PI/P} nt PI	Id _{Nd,s} up	carichi verticali: compressione					carichi verticali: trazione			carichi orizzontali					
		Q _{Ed,Max} V,c [N]	Q _{Rd,V,c} [N]	Q _{Rd,V,Pt} [N]	Q _{Rd,V,Lt} [N]	CS _{V,c}	Q _{Ed,Max} x,V,t [N]	Q _{Rd,V,t} [N]	CS _{V,t}	Q _{Ed,O} [N]	Q _{Rd,O} [N]	M _{max,O} [N-m]	T.R.	Z _{c,pls} [m]	CS _O
18			45	33	2			366			0	Lungo			
PALO	00020	27.310	2.327.9	1.816.2	511.71	85,24	0	1.100.	-	3.185	98.96	98765	Palo	1,44	31,07
31			45	33	2			366			0	Lungo			
PALO	00021	31.167	2.327.9	1.816.2	511.71	74,69	0	1.100.	-	3.936	98.96	98765	Palo	1,44	25,14
6			45	33	2			366			0	Lungo			
PALO	00023	27.321	2.327.9	1.816.2	511.71	85,21	0	1.100.	-	3.054	98.96	98765	Palo	1,44	32,40
34			45	33	2			366			0	Lungo			
PALO	00008	27.328	2.327.9	1.816.2	511.71	85,19	0	1.100.	-	3.035	98.96	98765	Palo	1,44	32,61
11			45	33	2			366			0	Lungo			
PALO	00009	28.559	2.327.9	1.816.2	511.71	81,51	0	1.100.	-	3.587	98.96	98765	Palo	1,44	27,59
1			45	33	2			366			0	Lungo			
PALO	00010	27.324	2.327.9	1.816.2	511.71	85,20	0	1.100.	-	3.309	98.96	98765	Palo	1,44	29,91
24			45	33	2			366			0	Lungo			
PALO	00029	27.263	2.327.9	1.816.2	511.71	85,39	0	1.100.	-	3.199	98.96	98765	Palo	1,44	30,93
30			45	33	2			366			0	Lungo			
PALO	00016	27.258	2.327.9	1.816.2	511.71	85,40	0	1.100.	-	3.192	98.96	98765	Palo	1,44	31,00
10			45	33	2			366			0	Lungo			
PALO	00030	27.392	2.327.9	1.816.2	511.71	84,99	0	1.100.	-	3.058	98.96	98765	Palo	1,44	32,36
35			45	33	2			366			0	Lungo			
PALO	00028	27.301	2.327.9	1.816.2	511.71	85,27	0	1.100.	-	3.457	98.96	98765	Palo	1,44	28,63
17			45	33	2			366			0	Lungo			
PALO	00017	30.909	2.327.9	1.816.2	511.71	75,32	0	1.100.	-	3.634	98.96	98765	Palo	1,44	27,23
22			45	33	2			366			0	Lungo			
PALO	00018	28.471	2.327.9	1.816.2	511.71	81,77	0	1.100.	-	3.582	98.96	98765	Palo	1,44	27,63
13			45	33	2			366			0	Lungo			
PALO	00022	27.331	2.327.9	1.816.2	511.71	85,18	0	1.100.	-	3.266	98.96	98765	Palo	1,44	30,30
26			45	33	2			366			0	Lungo			
PALO	00015	25.094	2.327.9	1.816.2	511.71	92,77	0	1.100.	-	2.492	98.96	98765	Palo	1,44	39,71
4			45	33	2			366			0	Lungo			
PALO	00035	27.327	2.327.9	1.816.2	511.71	85,19	0	1.100.	-	3.195	98.96	98765	Palo	1,44	30,97
29			45	33	2			366			0	Lungo			
PALO	00036	27.314	2.327.9	1.816.2	511.71	85,23	0	1.100.	-	3.135	98.96	98765	Palo	1,44	31,57
16			45	33	2			366			0	Lungo			
PALO	00037	27.902	2.327.9	1.816.2	511.71	83,43	0	1.100.	-	3.866	98.96	98765	Palo	1,44	25,60
36			45	33	2			366			0	Lungo			
PALO	00024	27.188	2.327.9	1.816.2	511.71	85,62	0	1.100.	-	3.186	98.96	98765	Palo	1,44	31,06
12			45	33	2			366			0	Lungo			
PALO	00001	22.682	2.327.9	1.816.2	511.71	NS	0	1.100.	-	2.299	98.96	98765	Palo	1,44	43,04
21			45	33	2			366			0	Lungo			
PALO	00026	27.289	2.327.9	1.816.2	511.71	85,31	0	1.100.	-	3.282	98.96	98765	Palo	1,44	30,15
25			45	33	2			366			0	Lungo			
PALO	00025	27.802	2.327.9	1.816.2	511.71	83,73	0	1.100.	-	3.834	98.96	98765	Palo	1,44	25,81
2			45	33	2			366			0	Lungo			
PALO	00006	27.268	2.327.9	1.816.2	511.71	85,37	0	1.100.	-	3.185	98.96	98765	Palo	1,44	31,07
15			45	33	2			366			0	Lungo			
PALO	00007	27.274	2.327.9	1.816.2	511.71	85,35	0	1.100.	-	3.159	98.96	98765	Palo	1,44	31,33
32			45	33	2			366			0	Lungo			
PALO	00004	27.270	2.327.9	1.816.2	511.71	85,37	0	1.100.	-	3.331	98.96	98765	Palo	1,44	29,71
28			45	33	2			366			0	Lungo			
PALO	00005	19.488	2.327.9	1.816.2	511.71	NS	0	1.100.	-	7.905	98.96	98765	Palo	1,44	12,52
37			45	33	2			366			0	Lungo			
PALO	00031	27.335	2.327.9	1.816.2	511.71	85,16	0	1.100.	-	3.042	98.96	98765	Palo	1,44	32,53
27			45	33	2			366			0	Lungo			
PALO	00033	26.643	2.327.9	1.816.2	511.71	87,38	0	1.100.	-	3.482	98.96	98765	Palo	1,44	28,42
23			45	33	2			366			0	Lungo			
PALO	00032	27.832	2.327.9	1.816.2	511.71	83,64	0	1.100.	-	3.486	98.96	98765	Palo	1,44	28,39
14			45	33	2			366			0	Lungo			

LEGENDA:

Id_{PI/Pnt} Identificativo del palo o del plinto su pali.

PI

Id_{Nd,sup} Identificativo del nodo all'estremo superiore del palo o della pilastrata cui il plinto è collegato.Q_{Rd,V,Pt} Aliquota della resistenza di progetto verticale dovuto alla resistenza alla punta.Q_{Rd,V,Lt} Aliquota della resistenza di progetto verticale dovuto alla resistenza laterale.Q_{Ed,O} Carico orizzontale di progetto.Q_{Rd,O} Resistenza di progetto orizzontale.M_{max,O} Momento massimo lungo il palo per carichi orizzontali.

T.R. Modalità di rottura per carico limite orizzontale (Palo Corto, Palo Medio, Palo Lungo).

Z_{c,pls} Profondità della seconda cerniera plastica.CS_O Coefficiente di sicurezza per azioni orizzontali ([NS] = Non Significativo per valori di CS >= 100; [VNR]= Verifica Non Richiesta).

Pali - Verifiche a carico limite verticale e orizzontale allo SLU

Id _{PI/P} nt PI	Id _{Nd,s} up	carichi verticali: compressione					carichi verticali: trazione			carichi orizzontali				
		Q _{Ed,Max} V,c [N]	Q _{Rd,V,c} [N]	Q _{Rd,V,Pt} [N]	Q _{Rd,V,Lt} [N]	CS _{V,c}	Q _{Ed,Max} x,V,t [N]	Q _{Rd,V,t} [N]	CS _{V,t}	Q _{Ed,O} [N]	Q _{Rd,O} [N]	M _{max} o [N-m]	T.R.	Z _{c,pls} [m]

Q_{Ed,Max}, Carico verticale di progetto massimo a compressione (c) ed a trazione (t).

v,c/

Q_{Ed,Max},

v,t

Q_{Rd,V,c}/ Resistenza di progetto verticale a compressione (c) ed a trazione (t).

Q_{Rd,V,t}

CS_{V,c}/

CS_{V,t} Coefficiente di sicurezza per azioni verticali a compressione (c) ed a trazione (t). ([NS] = Non Significativo per valori di CS >=

100; [VNR]= Verifica Non Richiesta).

PALI - VERIFICHE A CARICO LIMITE VERTICALE E ORIZZONTALE ALLO SLD

Pali - Verifiche a carico limite verticale e orizzontale allo SLD

Id _{PI/P} nt PI	Id _{Nd,s} up	carichi verticali: compressione					carichi verticali: trazione			carichi orizzontali					
		Q _{Ed,Max} V,c [N]	Q _{Rd,V,c} [N]	Q _{Rd,V,Pt} [N]	Q _{Rd,V,Lt} [N]	CS _{V,c}	Q _{Ed,Max} x,V,t [N]	Q _{Rd,V,t} [N]	CS _{V,t}	Q _{Ed,O} [N]	Q _{Rd,O} [N]	M _{max} o [N-m]	T.R.	Z _{c,pls} [m]	CS _O
PALO 33	00014	20.965	2.327.945	1.816.233	511.712	NS	0	1.100.366	-	1.193	98.960	98765	Palo Lungo	1,44	82,95
PALO 19	00011	20.977	2.327.945	1.816.233	511.712	NS	0	1.100.366	-	1.402	98.960	98765	Palo Lungo	1,44	70,58
PALO 7	00013	20.426	2.327.945	1.816.233	511.712	NS	0	1.100.366	-	1.352	98.960	98765	Palo Lungo	1,44	73,20
PALO 9	00034	20.965	2.327.945	1.816.233	511.712	NS	0	1.100.366	-	1.278	98.960	98765	Palo Lungo	1,44	77,43
PALO 38	00012	33.732	2.327.945	1.816.233	511.712	69,01	0	1.100.366	-	7.250	98.960	98765	Palo Lungo	1,44	13,65
PALO 20	00038	21.362	2.327.945	1.816.233	511.712	NS	0	1.100.366	-	1.349	98.960	98765	Palo Lungo	1,44	73,36
PALO 8	00003	21.029	2.327.945	1.816.233	511.712	NS	0	1.100.366	-	1.247	98.960	98765	Palo Lungo	1,44	79,36
PALO 3	00002	23.547	2.327.945	1.816.233	511.712	98,86	0	1.100.366	-	1.478	98.960	98765	Palo Lungo	1,44	66,96
PALO 5	00015	19.303	2.327.945	1.816.233	511.712	NS	0	1.100.366	-	963	98.960	98765	Palo Lungo	1,44	NS
PALO 18	00019	21.046	2.327.945	1.816.233	511.712	NS	0	1.100.366	-	1.448	98.960	98765	Palo Lungo	1,44	68,34
PALO 31	00020	21.008	2.327.945	1.816.233	511.712	NS	0	1.100.366	-	1.231	98.960	98765	Palo Lungo	1,44	80,39
PALO 6	00021	23.975	2.327.945	1.816.233	511.712	97,10	0	1.100.366	-	1.521	98.960	98765	Palo Lungo	1,44	65,06
PALO 34	00023	21.016	2.327.945	1.816.233	511.712	NS	0	1.100.366	-	1.210	98.960	98765	Palo Lungo	1,44	81,79
PALO 11	00008	21.022	2.327.945	1.816.233	511.712	NS	0	1.100.366	-	1.172	98.960	98765	Palo Lungo	1,44	84,44
PALO 1	00009	21.969	2.327.945	1.816.233	511.712	NS	0	1.100.366	-	1.387	98.960	98765	Palo Lungo	1,44	71,35
PALO 24	00010	21.019	2.327.945	1.816.233	511.712	NS	0	1.100.366	-	1.279	98.960	98765	Palo Lungo	1,44	77,37
PALO 30	00029	20.972	2.327.945	1.816.233	511.712	NS	0	1.100.366	-	1.236	98.960	98765	Palo Lungo	1,44	80,06
PALO 10	00016	20.968	2.327.945	1.816.233	511.712	NS	0	1.100.366	-	1.232	98.960	98765	Palo Lungo	1,44	80,32
PALO 35	00030	21.072	2.327.945	1.816.233	511.712	NS	0	1.100.366	-	1.291	98.960	98765	Palo Lungo	1,44	76,65
PALO 17	00028	21.001	2.327.945	1.816.233	511.712	NS	0	1.100.366	-	1.335	98.960	98765	Palo Lungo	1,44	74,13
PALO 22	00017	23.776	2.327.945	1.816.233	511.712	97,91	0	1.100.366	-	1.405	98.960	98765	Palo Lungo	1,44	70,43
PALO 13	00018	21.901	2.327.945	1.816.233	511.712	NS	0	1.100.366	-	1.384	98.960	98765	Palo Lungo	1,44	71,50
PALO 26	00022	21.024	2.327.945	1.816.233	511.712	NS	0	1.100.366	-	1.262	98.960	98765	Palo Lungo	1,44	78,42
PALO 4	00015	19.303	2.327.945	1.816.233	511.712	NS	0	1.100.366	-	963	98.960	98765	Palo Lungo	1,44	NS
PALO 29	00035	21.021	2.327.945	1.816.233	511.712	NS	0	1.100.366	-	1.236	98.960	98765	Palo Lungo	1,44	80,06
PALO 16	00036	21.011	2.327.945	1.816.233	511.712	NS	0	1.100.366	-	1.212	98.960	98765	Palo Lungo	1,44	81,65
PALO	00037	21.474	2.327.945	1.816.233	511.712	NS	0	1.100.366	-	2.054	98.960	98765	Palo Lungo	1,44	48,18

Pali - Verifiche a carico limite verticale e orizzontale allo SLD

Id _{PI/P} nt PI	Id _{Nd,s} up	carichi verticali: compressione					carichi verticali: trazione			carichi orizzontali					
		Q _{Ed,Max,v,c} [N]	Q _{Rd,V,c} [N]	Q _{Rd,V,Pt} [N]	Q _{Rd,V,Lt} [N]	CS _{V,c}	Q _{Ed,Max,x,V,t} [N]	Q _{Rd,V,t} [N]	CS _{V,t}	Q _{Ed,O} [N]	Q _{Rd,O} [N]	M _{max,O} [N-m]	T.R.	Z _{c,pls} [m]	CS _O
36 PALO	00024	20.914	2.327.9 45	1.816.2 33	511.71 2	NS	0	366 1.100.	-	1.230	0 98.96	98765	Lungo Palo	1,44	80,46
12 PALO	00001	17.448	2.327.9 45	1.816.2 33	511.71 2	NS	0	366 1.100.	-	888	0 98.96	98765	Lungo Palo	1,44	NS
21 PALO	00026	20.992	2.327.9 45	1.816.2 33	511.71 2	NS	0	366 1.100.	-	1.268	0 98.96	98765	Lungo Palo	1,44	78,04
25 PALO	00025	21.387	2.327.9 45	1.816.2 33	511.71 2	NS	0	366 1.100.	-	1.482	0 98.96	98765	Lungo Palo	1,44	66,77
2 PALO	00006	20.976	2.327.9 45	1.816.2 33	511.71 2	NS	0	366 1.100.	-	1.231	0 98.96	98765	Lungo Palo	1,44	80,39
15 PALO	00007	20.980	2.327.9 45	1.816.2 33	511.71 2	NS	0	366 1.100.	-	1.222	0 98.96	98765	Lungo Palo	1,44	80,98
32 PALO	00004	20.977	2.327.9 45	1.816.2 33	511.71 2	NS	0	366 1.100.	-	1.286	0 98.96	98765	Lungo Palo	1,44	76,95
28 PALO	00005	15.097	2.327.9 45	1.816.2 33	511.71 2	NS	0	366 1.100.	-	5.682	0 98.96	98765	Lungo Palo	1,44	17,42
37 PALO	00031	21.027	2.327.9 45	1.816.2 33	511.71 2	NS	0	366 1.100.	-	1.175	0 98.96	98765	Lungo Palo	1,44	84,22
27 PALO	00033	20.495	2.327.9 45	1.816.2 33	511.71 2	NS	0	366 1.100.	-	1.345	0 98.96	98765	Lungo Palo	1,44	73,58
23 PALO	00032	21.410	2.327.9 45	1.816.2 33	511.71 2	NS	0	366 1.100.	-	1.347	0 98.96	98765	Lungo Palo	1,44	73,47

LEGENDA:

Id_{PI/Pnt} Identificativo del palo o del plinto su pali.

PI

Id_{Nd,sup} Identificativo del nodo all'estremo superiore del palo o della pilastrata cui il plinto è collegato.

Q_{Rd,V,Pt} Aliquota della resistenza di progetto verticale dovuto alla resistenza alla punta.

Q_{Rd,V,Lt} Aliquota della resistenza di progetto verticale dovuto alla resistenza laterale.

Q_{Ed,O} Carico orizzontale di progetto.

Q_{Rd,O} Resistenza di progetto orizzontale.

M_{max,O} Momento massimo lungo il palo per carichi orizzontali.

T.R. Modalità di rottura per carico limite orizzontale (Palo Corto, Palo Medio, Palo Lungo).

Z_{c,pls} Profondità della seconda cerniera plastica.

CS_O Coefficiente di sicurezza per azioni orizzontali ([NS] = Non Significativo per valori di CS >= 100; [VNR]= Verifica Non Richiesta).

Q_{Ed,Max,v,c/} Carico verticale di progetto massimo a compressione (c) ed a trazione (t).

Q_{Ed,Max,v,t}

Q_{Rd,Max,v,c/}

Q_{Rd,Max,v,t}

Q_{Rd,V,c/} Resistenza di progetto verticale a compressione (c) ed a trazione (t).

Q_{Rd,V,t}

CS_{V,c/} Coefficiente di sicurezza per azioni verticali a compressione (c) ed a trazione (t). ([NS] = Non Significativo per valori di CS >= 100; [VNR]= Verifica Non Richiesta).

CS_{V,t}

Pescara, 01/09/2022

Il progettista strutturale

ing. Italiani Alessandro

Per presa visione, il direttore dei lavori

ing. Italiani Alessandro

Per presa visione, il collaudatore

...